

علوم زیستی ورزشی - زمستان ۱۴۰۰
دوره ۱۳، شماره ۴، ص: ۳۲-۱۵
نوع مقاله: علمی - پژوهشی
تاریخ دریافت: ۱۴۰۰ / ۰۸ / ۳۰
تاریخ پذیرش: ۱۴۰۱ / ۰۲ / ۰۱

اثر دو مدل تمرین بر بیان ژن‌های MAFbx و MST1 عضله پلاتنتریس و آزمون‌های رفتاری موش‌های صحرایی نر ویستار پیش از کاهش فعالیت بدنی به شکل لیگاسیون عصب نخاعی

عبدالرضا کاظمی* - اسماء مقدم^۲

۱.دانشیار گروه علوم ورزشی، دانشکده ادبیات و علوم انسانی، دانشگاه ولی عصر (عج) رفسنجان، رفسنجان، ایران ۲.دانشجوی کارشناسی ارشد، گروه فیزیولوژی ورزشی، دانشگاه آزاد اسلامی، کرمان، ایران، مرکز تحقیقات فیزیولوژی، پژوهشکده نوروفارماکولوژی، دانشگاه علوم پزشکی کرمان، کرمان، ایران

چکیده

اختلال در عملکرد عصبی-عضلانی به همراه کاهش فعالیت بدنی سبب بروز پیامدهای چشمگیری بر عملکرد عضلانی می‌شود. از این‌رو هدف از پژوهش حاضر بررسی اثر یک دوره تمرین مقاومتی و ترکیبی بر بیان ژن‌های MST1 و MAFbx عضله پلاتنتریس و آزمون‌های رفتاری موش‌های صحرایی نر ویستار پیش از کاهش فعالیت بدنی به شکل لیگاسیون عصب نخاعی بود. ۲۴ سر موش صحرایی نر ۸ هفته‌ای با وزن 250 ± 20 گرم به روش تصادفی ساده به ۳ گروه مساوی تقسیم شدند: ۱. گروه شم - لیگاسیون (Sham-SNL)، ۲. گروه تمرین مقاومتی - لیگاسیون (S) و ۳. گروه تمرین ترکیبی - لیگاسیون (SNL-CO). در هر سه گروه، پس از اتمام پروتکل تمرین، سه شاخه عصب سیاتیک به طور محکم گره زده شد. مدت پروتکل SNL، ۴ هفته بود. در پایان پروتکل، عضله پلاتنتریس استخراج شد. به‌منظور اندازه‌گیری بیان ژن‌های موردنظر از روش Real-Time PCR استفاده شد. بیان ژن MST1 و MAFbx در گروه Sham-SNL نسبت به گروه‌های تمرین به‌طور غیرمعناداری بالاتر بود ($P < 0.05$). از طرف دیگر، نتایج آزمون آنوای یکطرفه و آزمون توکی نشان داد که اختلاف معناداری در هایپرآلزیای حرارتی و آلودگی‌ای مکانیکی بین گروه شم و گروه‌های تمرین وجود دارد ($P < 0.05$). با توجه به تغییر معنادار آزمون‌های رفتاری در گروه شم نسبت به گروه‌های تمرین می‌توان ادعا کرد که تمرینات مقاومتی و ترکیبی برای بهبود درد نوروپاتیک می‌تواند مفید باشد.

واژه‌های کلیدی

آزمون‌های رفتاری، تمرین ترکیبی و مقاومتی، لیگاسیون عصب نخاعی، MAFbx، MST1

مقدمه

آتروفی در برخی شرایط مانند آسیب‌دیدگی ناشی از صدمات ورزشی و غیرورزشی، زندگی در فضا (۱) و همچنین در برخی موارد بیماری‌زا مانند کاهش خون‌رسانی به بافت عضلانی، سوءتغذیه و نیز اختلال در عصب‌دهی به یک عضله ایجاد می‌شود (۲). در شرایط آتروفی عضلانی، تخریب بخش‌های پروتئینی عضله بیش از تولید آنهاست (۳، ۴). در این حالت، کیفیت زندگی افراد کاهش می‌یابد، انجام کارهای روزمره با دشواری همراه است و همچنین احتمال ابتلا به برخی بیماری‌ها مانند پوکی استخوان افزایش می‌یابد. کاهش سطح مقطع تارهای عضلانی و متعاقب آن اختلال در قدرت و همچنین تغییر در ترکیب نوع تار عضلانی از ویژگی‌های بارز آتروفی عضلانی است (۴). تغییرپذیری و شکل‌پذیری در بافت عضله اسکلتی بسیار بالاست. بافت عضلانی با توجه به بود و نبود فشارهای مکانیکی از طریق تغییر در اندازه عضله، بیان پروتئین‌های انقباضی و غیرانقباضی و تغییرات سوخت‌وسازی، سازگار می‌شود. در زمان سازگاری‌های فیزیولوژیک و پاتولوژیک، فرایندهایی در عضله اسکلتی اتفاق می‌افتد تا بتوانند تعادل بین سنتز و تجزیه پروتئین را حفظ کنند (۵، ۶). این فرایندها به وسیله آبشارهای سیگنالینگ درون‌سلولی تنظیم می‌شوند. برخی پژوهش‌ها نشان داده‌اند که حذف بار مکانیکی (تعليق اندام) در مدل‌های حیوانی سبب تحلیل توده عضلانی و همچنین کاهش تولید نیرو می‌شود (۷-۹). از سوی دیگر، اعمال بار مجدد، آبشاری از رویدادها شامل آسیب‌های خفیف عضلانی، التهاب، بازسازی و رشد را تحریک می‌کند که در نهایت موجب بازسازی توده عضلانی می‌شود (۸، ۹). در آتروفی عضلانی، سنتز پروتئین به‌طور چشمگیری به‌دلیل مهار مسیر-IGF-1/PI3K/AKT سرکوب می‌شود (۱۰). تجزیه پروتئین به‌دلیل فعال شدن مسیرهای یوبیکوئیتین پروتئازوم و اتوفازی که به‌طور هماهنگ کار می‌کنند تا پروتئین‌های میوفیبریلی میوسیت‌ها را از بین ببرند، اتفاق می‌افتد (۱۱). در نتیجه فعال‌سازی این مسیرها، کاهش سریع توده عضلانی و عملکرد انقباضی رخ می‌دهد. MAFbx عضوی از مجموعه پروتئین‌های حاوی ¹Skp1، ²Cullin1 و ³F-box است که به هم وصل می‌شوند تا فعالیت لیگاز E3 Ub-protein خود را، ایجاد کنند. MAFbx نشانگر معتبری برای آتروفی عضلانی است (۱۲). نشان داده شده است که بیان ژن‌های MAFbx، ¹Murf-1 و همچنین چند ژن اتوفازی دیگر، در مراحل اولیه بسیاری از آتروفی‌های عضلانی تنظیم افزایشی می‌یابند (۱۳، ۱۴).

-
1. Muscle atrophy F-box
 2. S-phase kinase-associated protein 1
 3. Muscle RING finger-1

خانواده کیناز شبه 20 Ste20 پستانداران^۱ به طور گستردگی در بافت‌های مختلفی بیان می‌شوند. کیناز MST1 در شرایط استرسی مختلف شامل فشار اکسایشی و فعال شدن کاسپازها افزایش می‌یابد (۱۵). همچنین در شرایط قطع عصب، MST1 موجب آتروفی عصبی در عضلات تندانقباض می‌شود. این افزایش در MST1 با افزایش بیان MAFbx و LC3^۲ از طریق فعال کردن FOXO3a همراه است (۱۶). از سوی دیگر، کاهش بیان MAFbx در موش‌های فاقد ژن MST1 مشاهده شده است (۱۶). سازوکار احتمالی در فرایند آتروفی عضلانی به گونه‌ای است که فاکتور رونویسی FOXO3a می‌تواند به توالی DNA در ناحیه پرومотор برخی از این ژن‌ها متصل شود. فعال شدن این ژن‌ها به وسیله FOXO3a همراه با دیگر سازوکارهای تنظیم‌کننده رونویسی و فاکتورهای مایوزنیک موجب شروع آتروفی عضلانی می‌شود (۱۷، ۱۸).

در شرایط لیگاسیون عصب نخاعی نوروپاتی رخ می‌دهد که همراستا با آتروفی عضلانی پیش می‌رود. نوروپاتی از بیماری‌های مخرب نوروپاتی است که برخی اوقات با درد همراه است. درد نوروپاتی، دردی است که از آسیب یا بیماری اعصاب حسی-پیکری حاصل شده و موجب اختلال در عملکرد سیستم عصبی-عضلانی می‌شود (۱۹). از سوی دیگر، افزون بر اختلال در سیستم عصبی مرکزی، درد نوروپاتی موجب کاهش سطح فعالیت جسمانی و اجتماعی در افراد مبتلا می‌شود (۲۰). در مدل‌های آسیب اعصاب محیطی که موجب پردردی می‌شوند، کاهش فعالیت جسمانی از پیامدهای کلینیکی شایع آن است (۱۰). این کاهش فعالیت موجب عدم آمادگی جسمانی، افزایش فشار خون و کاهش عملکرد عضلانی-اسکلتی خواهد شد (۲۲، ۲۳). در این شرایط-فعالیت کاهش می‌یابد و آسیب اعصاب محیطی-ممکن است با اختلالات اعصاب حرکتی ناشی از اختلال پروتئین‌های مرتبط با انتقال آکسونی و پروتئین‌های آتروفیک همراه باشد (۲۴).

بی‌فعالیتی بدنی مانند بستری بودن افراد بیمار یا بی‌تحرک شدن ورزشکار در نتیجه آسیب‌دیدگی، از شرایطی است که کاهش توده عضلانی و افزایش بیان ژن‌های آتروفیک و همچنین کاهش آستانه درد در آن بارز است، تا به حال نقش MST1 و MAFbx در آتروفی ناشی از لیگاسیون عصب نخاعی و همچنین

-
1. Mammalian STE20-like
 2. Macrophage-stimulating 1
 3. Microtubule-Associated Protein 1A/1B-Light Chain 3
 4. Forkhead box O3

تغییرات درد نوروپاتیک در اثر لیگاسیون پس از تمرین مقاومتی و ترکیبی بررسی نشده است. شناخت سازوکارهای درگیر در آتروفی و بازسازی عضله به توسعه روش‌های درمانی جدید برای مقابله با آتروفی ناشی از بی‌تحرکی و بستری شدن ورزشکاران پس از آسیب‌دیدگی و جراحی‌ها که موجب طولانی‌تر شدن دوره بازتوانی و برگشت به میادین ورزشی در آنها می‌شود، کمک خواهد کرد. از این‌رو، پرداختن به وضعیت‌های بی‌تحرکی به‌خصوص آتروفی‌هایی که می‌تواند در نتیجه بدون بار شدن مکانیکی در ورزشکاران اتفاق بیفتد، اهمیت بسزایی دارد تا با توسعه روش‌های غیردارویی، دوران بی‌تحرکی ورزشکاران را کاهش دهیم و دوره بازتوانی و برگشت به میادین ورزشی را تسريع کنیم. بنابراین، این سؤال پیش می‌آید که آیا بیان mRNA ژن‌های MST1 و MAFbx به همراه آزمون‌های رفتاری درد نوروپاتیک در شرایط تمرین پیش از لیگاسیون تغییر خواهد کرد؟ از این‌رو، هدف از پژوهش حاضر بررسی تغییرات بیان mRNA ژن‌های MST1 و MAFbx در پلاتریس موش‌های صحرایی نر ویستار و همچنین آزمون‌های رفتاری به‌دلیل ۶ هفته تمرین ورزشی در موش‌های صحرایی نر ویستار دچار لیگاسیون عصب نخاعی بود. با توجه به اینکه نشان داده شده است MST1 تأثیرات خود را از طریق لیگاز یوبی کوئیتینی MAFbx اعمال می‌کند (۲۵)، از این‌رو در پژوهش حاضر بیان mRNA این ژن به عنوان عامل پایین‌دست MST1 ارزیابی شد.

روش‌شناسی

نمونه‌آماری

پژوهش حاضر از نوع تجربی و بنیادی است که ۲۴ سر موش صحرایی نر ۸ هفته‌ای با وزن ۲۵۰ ± ۲۰ گرم (در ابتدا) از مرکز فیزیولوژی دانشگاه علوم پزشکی کرمان خریداری شد. حیوانات موردنظر به روش تصادفی ساده به ۳ گروه تقسیم شدند: گروه اول، گروه کنترل – لیگاسیون عصبی (Sham-SNL). این گروه شامل ۸ سر موش صحرایی نر ۸ هفته‌ای بود که سه شاخه عصب سیاتیک آنها براساس روش کیم و چانگ محکم گره زده شد (۲۹). گروه دوم، گروه تمرین مقاومتی – لیگاسیون عصبی (SNL-S): این گروه شامل ۸ سر موش صحرایی نر ۸ هفته‌ای بود که پس از یک دوره تمرین مقاومتی، سه شاخه عصب سیاتیک آنها براساس روش کیم و چانگ محکم گره زده شد. گروه سوم، گروه تمرین ترکیبی – لیگاسیون عصبی (SNL-CO): این گروه شامل ۸ سر موش صحرایی نر ۸ هفته‌ای بود که پس از یک دوره تمرین

ترکیبی، سه شاخه عصب سیاتیک آنها براساس روش کیم و چانگ محکم گرده زد (۲۹). موش‌های تمام گروه‌ها پس از ۴ هفته لیگاسیون عصب نخاعی قربانی شدند، عضله پلاتتاریس استخراج و به‌منظور بررسی بیان ژن‌ها به آزمایشگاه منتقل شد.

نگهداری و تغذیه موش‌ها

موش‌ها در آزمایشگاه در شرایط کنترل شده نور (۱۲ ساعت روشنایی و ۱۲ ساعت تاریکی، شروع روشنایی ۷ صبح و شروع خاموشی ۷ عصر) دما (22 ± 1 سانتی‌گراد) و رطوبت طبیعی نگهداری شدند. ۳ تا ۵ موش در قفس‌هایی از جنس پلکسی گلاس با در توری و به ابعاد ۲۵ در ۲۷ در ۴۳ سانتی‌متر به‌گونه‌ای نگهداری شدند که آزادانه به آب و غذای استاندارد دسترسی داشتند. در پژوهش حاضر کار با حیوانات براساس تمامی اصول اخلاقی تأییدشده توسط کمیته اخلاق دانشگاه علوم پزشکی کرمان (IR.KMU.REC.1399.190) و دستورالعمل‌های سازمان بین‌المللی مطالعه درد (IASP) (انجام پذیرفت).

تمرین مقاومتی

برای آشناسازی حیوانات با نحوه اجرای تمرین مقاومتی، موش‌ها به مدت ۳ روز و هر روز ۱۰ تا ۱۵ دقیقه با نحوه بالا رفتن از نرdban آشنا شدند. روش انجام تمرین مقاومتی به‌گونه‌ای بود که وزنه‌های موردنظر از طریق سیلندر به دم موش متصل می‌شد و موش در این حالت از نرdban بالا می‌رفت. مدت برنامه تمرین مقاومتی، ۶ هفته (ارتفاع نرdban یک متر و با شیب ۸۵ درجه) بود. طبق رفرانس استفاده شده، به‌منظور یکسان‌سازی مدت زمان کلی هر جلسه تمرین مقاومتی با تمرین استقامتی هر جلسه تمرین مقاومتی در دو نوبت صبح (ساعت ۹) و عصر (ساعت ۲) انجام گرفت (امکان اعمال بار مناسب در یک نوبت در روز وجود نداشت). هر جلسه تمرین در سه ست پنج تکراری انجام می‌گرفت. فاصله استراحتی بین ست‌ها، دو دقیقه و بین تکرارها یک دقیقه بود. در موقع ضروری از شوک الکتریکی (۰/۳-۰/۲ میلی‌آمپر) برای تحریک موش‌ها به بالا رفتن از نرdban در جلسات آشنایی و تمرینات اصلی استفاده شد (استفاده از شوک فقط ۳ بار متوالی مجاز بود). در هفته اول تمرین، ۵۰ درصد وزن بدن موش به‌عنوان مقاومت استفاده شد و افزایش تدریجی بار (دو هفته اول ۵۰ درصد، دو هفته دوم ۵۵ درصد و دو هفته آخر ۶۰ درصد وزن بدن موش) در طول برنامه تمرینی اعمال شد (۲۶).

گروه تمرین ترکیبی

موسایی که در این گروه قرار داشتند، ۴ روز در هفته (هر هفته ۲ جلسه تمرین مقاومتی و ۲ جلسه تمرین استقاماتی) بهصورت یک جلسه در میان، تمرینات استقاماتی و تمرینات مقاومتی را که در بالا ارائه شده است، انجام می‌دادند.

تمرین استقاماتی

بهمنظور آشناسازی با تمرین استقاماتی، موسیها به مدت ۵ روز در هفته و به مدت ۱۰ تا ۱۵ دقیقه روی نوار گردان مخصوص جوندگان راه رفتند (سرعت نوار گردان برابر ۱۰ متر در دقیقه). شدت تمرین در تمرین استقاماتی برابر $70\text{--}60$ درصد اکسیژن مصرفی بیشینه بود (۲ هفته اول ۶۰ درصد، دو هفته دوم ۶۴ درصد و ۲ هفته آخر ۷۰ درصد). مدت برنامه تمرین استقاماتی، ۶ هفته و هر هفته ۴ جلسه بود. مدت زمان جلسه تمرین استقاماتی در هفته‌های، دوم و سوم و سه هفته آخر به ترتیب ۱۰، ۲۰ و ۳۰ دقیقه بود. برای رسیدن سازگاری‌های بهدست آمده به حالت یکنواخت، تمامی متغیرهای تمرینی در هفته پایانی (هفته ششم) ثابت نگه داشته شد (۲۷).

برای تبدیل سرعت نوار گردان به اکسیژن مصرفی بیشینه از روش مطالعه هویدال و همکاران (۲۰۰۷) استفاده شد. بر این اساس هر موسی صحرایی ابتدا به مدت ۱۰ دقیقه و با سرعت ۱۰ متر بر دقیقه و شبی ۱۰ درجه مرحله گرم کردن را سپری کرد. سپس آزمون فزاینده ورزشی آغاز شد. در این مرحله شبی نوار گردان ثابت و ۲۵ درجه بود. هر دو دقیقه سرعت نوار گردان $0\text{--}100$ متر بر ثانیه (حدود $1\text{--}2/8$ متر بر دقیقه) به طور خودکار افزایش یافت تا زمانی که موسی صحرایی قادر به ادامه فعالیت ورزشی نباشد. ملاک ناتوانی در ادامه فعالیت، سه بار افتادن روی شوک یا خروج از نوار گردان بود. مدت زمان فعالیت، کل فاصله دویده شده، سرعت نهایی کسب شده و میزان کار انجام گرفته برای هر موسی محاسبه شد. سپس مقدار $\text{VO}_{2\text{peak}}$ طبق فرمول $\text{Y}=162\text{x}-1$ بهدست آمد ($\text{Y}=\text{پاسخ}(\text{ml/kg}^{0.75} \text{ per min})$ ؛ $\text{x}=\text{سرعت دویدن}(\text{m/s})$). (۲۸).

القای لیگاسیون عصبی

مدل SNL روشی است که به طور گسترده برای مطالعه سازوکارهای درد نوروپاتیک و تأثیر داروها و رفتارهای مرتبط با درد استفاده می‌شود. در این پژوهش بهمنظور ایجاد مدل SNL، ابتدا موسیها با سدیم پنتوباربیتول (۶۰ میلی‌گرم در هر کیلوگرم وزن بدن بهصورت درون‌صفاقی) بی‌هوش شدند و سپس عصب

پنجم کمری نخاعی آنها براساس روش کیم و چانگ^۱ (۱۹۹۲) (۲۹) محکم گره زده شد. مدت پروتکل SNL، ۴ هفته بود. بهطور خلاصه در این روش، پس از اطمینان از بی‌هوشی حیوان، عضلات بین‌مهره‌ای در سطح مهره چهارم کمری و دوم خاجی جدا و زائده عرضی مهره ششم کمری برداشته شد. سپس عصب پنجم کمری سمت چپ نخاع مشخص و با ظرافت خاصی از اعصاب مجاور جدا شد. عصب پنجم کمری محکم با استفاده از نخ مخصوص (ساخت ژاپن)، دقیقاً در انتهای دیستال بهمنظور اطمینان از ایجاد اختلال در تمام فیبرها گره زده شد. این روش برای جلوگیری از آسیب به عصب چهارم کمری، با دقت بسیار زیادی انجام گرفت.

نحوه اندازه‌گیری آلودینیای مکانیکی

بهمنظور اندازه‌گیری آلودینیای مکانیکی، حیوان روی یک شبکه سیمی و در داخل محفظه پلکسی گلاس به ابعاد 20×20 و ارتفاع ۳۰ سانتی‌متر قرار گرفت. بهمنظور عادت کردن حیوانات به محیط جدید، ۳۰ دقیقه پیش از آزمایش، درون محفظه شفاف و روی صفحه مشبك قرار گرفت. برای سنجش آلودینیای مکانیکی، از تارهای مختلف Von Fery در محدوده ۲ تا ۶۰ گرم (۲، ۴، ۶، ۸، ۱۵، ۲۶، ۴۰) ساخت شرکت Stoltting, USA بهمنظور سنجش حساسیت پوست به تحریکات تماسی استفاده شد. هر آزمایش با تار دارای کمترین وزن شروع شد و در صورت عدم ایجاد پاسخ، بهترتب از تارهای با وزن بالاتر استفاده شد. چنانچه ۲ بار متوالی، پاسخ (بلند کردن پا توسط حیوان) مشاهده شد، همان وزن بهعنوان آستانه پس کشیدن پنجه^۲ (PWT) محسوب شد و دیگر آزمایش ادامه نپیدا نکرد. چنانچه حیوان به هیچ‌یک از تارها، از جمله تار شماره ۶۰ نیز پاسخ نمی‌داد، عدد ۶۰ بهعنوان آستانه پاسخ در نظر گرفته شد. همچنین، هر آزمایش ۳ بار و به تناوب حداقل ۳ دقیقه تکرار شد و میانگین آنها بهعنوان آستانه پس کشیدن پنجه منظور شد. بهطور کلی، آلودینیای مکانیکی^۳ با در هفته اندازه‌گیری شد (۳۰).

نحوه اندازه‌گیری پردردی حرارتی

از آزمون TF بهمنظور سنجش پردردی حرارتی حیوانات استفاده شد. پاسخ TF، رفلکس نخاعی قابل توجه در موش است که از طریق اعمال گرمای آسیب‌رسان به دم ایجاد می‌شود. تأخیر^۴ این پاسخ

-
1. Kim and Chung
 2. Thread silk
 3. Paw Withdrawal Threshold
 4. Tail-flick
 5. Latency

در آزمایش‌های الکتروفیزیولوژیکی و فارماکولوژیکی به عنوان معیار پاسخ درد حیوان به کار می‌رود. در این روش اندازه‌گیری سنجش درد، ابتدا موش‌ها به مقید‌کننده سازگاری داده شدند تا اثر استرس در نتایج کاهش یابد و حیوان کاملاً در شرایط راحت باشد. این کار باید حداقل ۲ روز پیش از آزمایش و به مدت ۲۰ دقیقه و ۳ بار در روز انجام گیرد. پس از عادت کردن حیوان به مقید‌کننده و محیط آزمایشگاه، موش به راحتی وارد مقید‌کننده شد و هیچ‌گونه مقاومت و عکس‌العملی نشان نداد. پس از ورود حیوان تطبیق‌بافته به مقید‌کننده، حدود ۵ سانتی‌متر از نوک دم روی چشم حساس الکترونیکی دستگاه TF قرار گرفت و دکمهٔ شروع دستی یا پایی فشار داده شد که در این هنگام پرتو نوری حاصل از روشن شدن لامپ دستگاه به وسیلهٔ آینهٔ مقری که بالای آن تعییه شده بود، روی دم حیوان متتمرکز شد و حیوان پس از مدتی (احساس درد) به صورت غیرارادی دم خود را پس می‌کشید. پس از تکان دادن دم توسط حیوان بلا فاصله لامپ خاموش و مدت زمان تأخیر پس کشیدن دم که به صورت عدد روی دستگاه مشخص است، یادداشت شد. در تمام آزمایش‌ها ارزیابی تأخیر پس کشیدن دم در زمان، دما و شرایط یکسان انجام گرفت. شدت جریان دستگاه ۳۴ صدم آمپر و فاصلهٔ لامپ از چشم حساس الکترونیکی ۲/۶ سانتی‌متر تنظیم شد. حداقل زمان برای هر آزمون ۱۰ ثانیه لحاظ شد تا از آسیب به آرمودنی‌ها جلوگیری شود (۳۰).

استخراج نمونه

در پایان، موش‌ها با استفاده از گاز CO₂ بی‌هوش شدند و در محیط کاملاً استریل با استفاده از تیغ جراحی و ایجاد برش در ساق پای موش، عضلهٔ پلاترایس استخراج و بلا فاصله در نیتروژن مایع، منجمد و برای انجام آزمایش در دمای -۸۰ درجهٔ سانتی‌گراد نگهداری شد.

cDNA و سنتز RNA استخراج

حدود ۵۰ میلی‌گرم بافت، به منظور استخراج total RNA به نسبت ۱ به ۱۰ در QIAzol Lysis Reagent به روش دستی هموژن شد. به منظور برداشتن اجزای پروتئینی، محصول حاصل در دمای ۴ درجهٔ سانتی‌گراد، ۱۰ دقیقه با نیروی گرانش ۱۲۰۰۰ سانتریفیوژ شد. سپس به نسبت ۱ به ۰/۵ با کلروفرم مخلوط و به مدت ۱۵ ثانیه به شدت تکان داده شد. محصول در دمای ۴ درجهٔ سانتی‌گراد، ۱۵ دقیقه با نیروی گرانش ۱۲۰۰۰ سانتریفیوژ و بخش معدنی و آبی از هم جدا شده، بخش محتوی RNA برداشته شد و با نسبت ۱ به ۰/۵ با ایزوپروپانول مخلوط و به مدت ۱۰ دقیقه در دمای اتاق رها شد، سپس در ۰C ۴، ۱۰ min، ۱۲۰۰۰ g سانتریفیوژ شد. RNA در اتانول شستشو شده و در ۰L آب RNAS-Free حل شد. غلاظت RNA سنجیده شد (Eppendorff, Germany) و نسبت ۲۶۰ به ۲۸۰ به ۱/۸ ۱۰ تا ۲ به عنوان تخلیص مطلوب تعریف شد. سنتز cDNA با استفاده از ۱۱ μg RNA و با استفاده از

مورد نظر نیز با روش ۲^{-ΔΔ CT} اندازه‌گیری شد (۳۱).

جدول ۱. توالی پرایمرهای مورد استفاده در پژوهش

بانک ژن	توالی پرایمر	ژن‌ها
NM_024352.1	F= 5ATGGGTATAGCAGGCAAG-3 R='5 CGAGGACACATACAAGAGAG -3	MST1
NM_133521.1	F= '5AGGGCAGGTGGATTGGAAGAAGA -3 R='5 GTTGGGGTCAAAGTGAGACGGAG -3	MAFbx
NM_031144	F= '5 AGCGTGGCTACAGCTTCACC -3' R='5 AAGTCTAGGGCAACATAGCACAGC -3'	β-actin

روش آماری

در بخش آمار توصیفی از شاخص‌های پراکندگی انحراف معیار، میانگین و نمودار و در بخش آمار استنباطی برای تعیین طبیعی بودن توزیع داده‌ها، آزمون شاپیروویلک استفاده شد. همچنین همسان بودن واریانس‌ها با آزمون Leven سنجیده شد. برای تعیین معنادار بودن تفاوت بین متغیرها از آزمون آماری تحلیل واریانس یکراهه و در صورت نیاز از آزمون تعقیبی توکی استفاده شد. برای تجزیه و تحلیل داده‌ها از نرم‌افزار SPSS-20 استفاده شد. سطح معناداری، برایر با 0.05 در نظر گرفته شد.

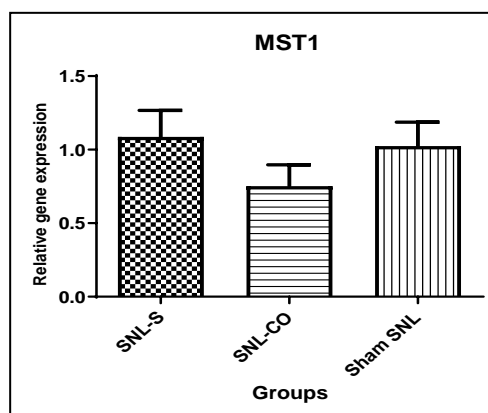
نتايج

در جدول ۲ توده بدنی موش‌ها پیش و پس از دوره پروتکل ارائه شده است. با استفاده از ترازوی مخصوص موش و با دقت ۱/۰ گرم وزن موش‌ها اندازه‌گیری و ثبت شد. برای تحلیل آماری از آزمون تحلیل واریانس آنچه مونت تک، استفاده شد.

جدول ۲. میانگین توده بدنی در گروههای مختلف پژوهش

وزن به گرم پس از اتمام دوره لیگاسیون	وزن به گرم پیش از دوره تمرین	
۲۵۸/۷۵ ± ۷/۳۶	۲۵۰/۶۲ ± ۸/۰۳	SNL -S
۲۶۰/۶۲ ± ۱۱/۴۶	۲۵۱/۷۵ ± ۹/۸۵	SNL-CO
۲۴۰/۲۵ ± ۱۰/۲۵	۲۵۰/۱۲ ± ۹/۸۲	Sham-SNL

با توجه به تجزیه و تحلیل های آماری آزمون آنوای یک طرفه (جدول ۵ و نمودار ۱) در بیان ژن MST1 در گروه SNL-Sham نسبت به گروه های تجربی تغییر معناداری مشاهده نشد ($P > 0.05$).



نمودار ۱. تغییرات بیان ژن MST1 در گروه های پژوهش

جدول ۳. نتایج تحلیل واریانس یک طرفه، اثر ورزش بر بیان ژن MST1 در عضله پلاتن تاریس در گروه های مختلف

P	F	میانگین مربعات	df	مجموع مربعات	اثرات
0.08	10/12	1/26	2	0/128	SNL
		0/0287	7	1/231	خطا
			9	1/359	کل

با توجه به تجزیه و تحلیل های آماری آنوای یک طرفه (جدول ۶ و نمودار ۲) در بیان ژن MAFbx در گروه SNL+Sham نسبت به گروه های تجربی تغییر معناداری مشاهده نشد ($P > 0.05$).

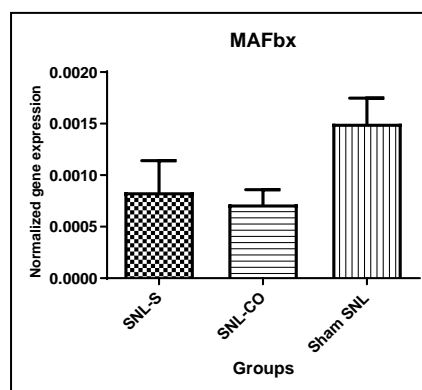
جدول ۴. نتایج تحلیل واریانس یک طرفه، اثر ورزش بر بیان ژن MAFbx در عضله پلاتن تاریس در گروه های مختلف

P	F	میانگین مربعات	df	مجموع مربعات	اثرات
0/12	1/89	0/26	2	0/085	SNL
		0/0287	7	1/52	خطا
			9	1/575	کل

نتایج آزمون تحلیل واریانس یکطرفه نشان داد تمرینات ورزشی بر آلوداینیای مکانیکی اثر داشته و تفاوت معناداری بین سه گروه پژوهش حاضر وجود دارد ($P < 0.05$) (جدول ۵).

جدول ۵. نتایج تحلیل واریانس یکطرفه، اثر ورزش بر آلداینیای مکانیکی در گروه های مختلف

P	F	میانگین مربعات	df	مجموع مربعات	اثرات
					مربعات
۰/۰۴	۳/۸۹	۱/۹۸	۲	۲/۱۸	SNL
		۰/۰۵۸	۷	۰/۸۹	خطا
			۹	۲/۰۷	کل



نمودار ۲. تغییرات بیان ژن **MAFbx** در گروه های پژوهش

آزمون تعقیبی توکی نشان داد تفاوت معناداری بین گروه sham و گروه تمرین ترکیبی و استقامتی در آلداینیای مکانیکی وجود دارد ($P < 0.05$). از طرف دیگر، نتایج آزمون توکی نشان داد که اختلاف معنادار بین دو گروه تمرین با یکدیگر وجود ندارد ($P > 0.05$).

نتایج آزمون تحلیل واریانس یکطرفه نشان داد تمرینات ورزشی بر هایپرآلزیای حرارتی اثر داشته و تفاوت معناداری بین ۳ گروه پژوهش حاضر وجود دارد ($P < 0.05$) (جدول ۶).

جدول ۶. نتایج تحلیل واریانس یکطرفه، اثر ورزش بر هایپرآلزیای حرارتی در گروه های مختلف

P	F	میانگین مربعات	df	مجموع مربعات	اثرات
					مربعات
۰/۰۳	۴/۰۵	۲/۵۸	۲	۲/۱۱	SNL
		۰/۰۳۲۵	۷	۰/۶۸	خطا
			۹	۲/۷۹	کل

آزمون تعقیبی توکی نشان داد تفاوت معناداری بین گروه sham و گروه تمرین ترکیبی و استقامتی در بیان ژن هایپرآلزیای حرارتی وجود دارد ($P < 0.05$). از طرف دیگر، نتایج آزمون توکی نشان داد که اختلاف معنادار بین دو گروه تمرین با یکدیگر وجود ندارد ($P > 0.05$).

بحث و نتیجه‌گیری

در این پژوهش اثر لیگاسیون عصب نخاعی پس از یک دوره تمرین مقاومتی و ترکیبی بر بیان ژن‌های MAFbx و MST1 عضله پلاتنتاریس موش‌های صحرایی نر ویستار بررسی شد. یافته‌های پژوهش نشان داد که لیگاسیون عصب نخاعی پس از تمرین مقاومتی و ترکیبی بر بیان ژن MST1 در عضله پلاتنتاریس تأثیر معناداری ندارد. همچنین، نتایج نشان داد که لیگاسیون عصب نخاعی پس از تمرین مقاومتی و ترکیبی به کاهش غیرمعنادار در بیان ژن MAFbx نسبت به گروهی که تنها در معرض لیگاسیون عصب نخاعی قرار گرفتند، منجر می‌شود. همچنین یافته‌های این پژوهش نشان داد که لیگاسیون عصبی پس از تمرین مقاومتی و ترکیبی به کاهش کمتر در میزان وزن عضله پلاتنتاریس نسبت به گروه لیگاسیون عصبی منجر شد. عدم معناداری تغییرات بیان ژن‌های MST1 و MAFbx در پژوهش حاضر با یافته‌های پژوهش کاظمی و دهش (۱۳۹۸) همخوانی ندارد (۳۲).

در پی یک دوره فعالیت کاهش یافته با استفاده از مدل SNL، افزایش پاتولوژیک بیان ژن‌های^۱ CDK5 و SYD^۲ به ایجاد تأثیرات مخرب بر سیستم عصبی عضلانی و ظهور نشانه‌های پاتولوژیک مانند آتروفی عضلانی، عصبی و تسريع در روند آپوپتوز منجر می‌شود (۳۳، ۳۴). این یافته‌ها با یافته‌های پژوهش حاضر هم‌راستا نیست، چراکه در پژوهش حاضر، لیگاسیون عصبی پس از تمرینات ورزشی بر بیان ژن MAFbx و MST1 به عنوان شاخص‌های آتروفی عضلانی، تأثیر معنادار نداشت. کاظمی (۱۳۹۷) در پژوهش خود به بررسی اثر بدون بار کردن مکانیکی اندام تحتانی بر بیان ژن‌های MST1 و MAFbx در عضلات نعلی (کندانقباض) و کف پایی (تندانقباض) موش‌های صحرایی ویستار پرداخت. نتایج پژوهش وی نشان داد که پس از ۱۴ روز تعلیق اندام تحتانی، بیان ژن MST1 افزایش معنادار یافت؛ بنابراین MST1 می‌تواند از اهداف اصلی کنترل آتروفی در شرایط بدون بار شدن مکانیکی در نظر گرفته شود (۳۵). با این حال این یافته‌ها با نتایج پژوهش پیش رو مغایرت دارد. از دلایل این تفاوت می‌توان به روش پژوهش موردنظر اشاره

1. Cyclin Dependent Kinase 5

2. Sunday Driver

کرد که در آن تنها اثر کاهش فعالیت بدنی بر بیان ژن‌های **MST1** و **MAFbx** بررسی شد. در حالی که در پژوهش حاضر، تأثیر لیگاسیون عصبی به عنوان مدلی از کاهش فعالیت بدنی پس از تمرین مقاومتی و ترکیبی بر بیان ژن‌های **MST1** و **MAFbx** بررسی شد.

در پژوهش دیگری کاظمی و دهش (۱۳۹۸) به بررسی تأثیر ۴ هفته **HIIT** بر بیان ژن **MST1** و **MAFbx** عضله **EDL** موش‌های پیر پرداختند. یافته‌های آنها نشان داد که پیری به طور معناداری بیان ژن **MST1** و **MAFbx** را افزایش می‌دهد. از طرف دیگر، ۴ هفته **HIIT** سبب کاهش معنادار بیان ژن **MST1** و **MAFbx** را افزایش می‌داند. این تفاوت‌ها می‌تواند مربوط به نوع، شدت تمرین و نوع کاهش غیرمعنادار بیان ژن **MAFbx** شد (۳۲). این همچنین در پژوهش حاضر از آزمودنی‌های مورد استفاده و شیوه اجرا در پژوهش‌های موردنظر باشد. همچنین در پژوهش حاضر از ترکیب لیگاسیون عصب نخاعی و تمرین مقاومتی و ترکیبی با شدت و بار متوسط استفاده شده است که این شیوه تمرینی ممکن است نتواند مسیرهای آتروزئیک سلولی مانند کاهش بیان ژن‌های **Murf-1** و **MAFbx** را مهار کند (۳۶)؛ از طرف دیگر گزارش شده است که تمرین می‌تواند شاخص‌های اتوفازیک را در عضلات اسکلتی افزایش دهد (۳۷). تحقیقات دیگر نیز تأیید می‌کنند که دویلن با شدت ۶۰ درصد اکسیژن مصرفی بیشینه سبب افزایش بیان ژن **MAFbx** در موش‌های تمرین کرده می‌شود (۳۸) و دلیل افزایش این لیگاز ممکن است پاسخ سازگاری به تمرین استقاماتی باشد. همچنین عنوان شده است که سیگنال‌های داخل‌سلولی ناشی از تمرین به تنظیم مجدد نشانگرهای مولکولی مسیر یوبیکوئیتین پروتئازوم منجر می‌شود که با افزایش بیشتر در پی تمرین استقاماتی همراه است (۳۹).

نشان داده شده است که تمرین مقاومتی از طریق کاهش یا عدم افزایش بیان ژن‌های **MuRF1** و **MAFbx**، از آتروفی عضلانی در دوره بی‌تحرکی جلوگیری می‌کند (۴۰). همچنین بیان شده است که با اجرای تمرینات کوتاه‌مدت مقاومتی می‌توان به مقابله با آتروفی ناشی از دیابت در موش‌های دیابتی پرداخت (۴۱). از سوی دیگر، نشان داده شده است که **HIIT** نمی‌تواند مانع از ایجاد آتروفی در دوره بی‌تمرینی شود (۴۲). در بررسی تأثیر تمرینات مقاومتی و استقاماتی بر شاخص‌های آتروفیک عضلانی، عنوان شده است که تمرینات مقاومتی با کاهش بیان ژن‌های **MuRF1** و **MAFbx** از آتروفی عضلانی جلوگیری می‌کند. از سوی دیگر، تمرینات استقاماتی سبب افزایش بیان این ژن‌ها شده و در نتیجه به آتروفی در عضلات منجر می‌شود (۴۳). از سازوکارهای مربوط به تمرین مقاومتی که به پیشگیری از آتروفی عضلانی منجر می‌شود، می‌توان به فعال شدن مسیر سیگنالینگ **AKT** اشاره کرد. همچنین تمرینات مقاومتی تغییری در میزان **FoxO1** و **FoxO3a** ایجاد نمی‌کنند (۴۴). از دیگر مسیرهای رشدی

مرتبط با تمرین مقاومتی می‌توان به IGF-1 اشاره کرد که با استفاده از مسیر سیگنالینگ PI3K-Akt موجب سرکوب و مهار لیگازهای مرتبط با آتروفی عضلانی و به تحریک رشد عضلانی منجر می‌شود (۴۵). اما در پژوهش حاضر ضمن اینکه از تمرینات مقاومتی نیز استفاده شده بود مسیر آتروفیک را احتمالاً به دلیل ناکافی بودن شدت تمرین نتوانسته مهار کند. از طرف دیگر، شدت یا مدت تمرین استقامتی برای القای مسیرهای آتروفیک احتمالاً ناکافی بوده است.

همچنین نشان داده شده است که بیان MAFbx / Murf-1 پس از القای نارسایی قلبی در میوکارد تنظیم افزایشی می‌شود و تمرین استقامتی منظم احتمالاً از طریق عمل ضدالتاهی آن، بیان ژن‌های مرتبط با آتروفی را کاهش می‌دهد (۴۶). افزون بر این در بررسی تأثیر تمرینات استقامتی طولانی مدت بر آتروفی عضلانی نشان داده شده است که این شیوه تمرینی می‌تواند از بیان بیش از حد α -TNF و MAFbx در عضلات آتروفی شده جلوگیری کند (۴۷). همچنین نشان داده است که تمرینات ورزشی مزمن، اختلالات عملکرد قلب را در موش‌های مبتلا به دیابت نوع یک، حداقل تا حدی از طریق سرکوب فعال‌سازی MST1 کاهش می‌دهد (۴۸). علاوه‌بر این بیان شده است که مصرف اسید آمینه شاخه‌دار، بیان mRNA MAFbx را کاهش می‌دهد. همچنین این نوع مکمل‌های پروتئینی از افزایش پروتئین تام-1 MuRF-1 در اثر تمرین مقاومتی در هر دو حالت استراحت و ورزش جلوگیری می‌کنند (۴۹). با توجه به مواردی که اشاره شد، در مورد تأثیر تمرینات مختلف ورزشی بر بیان شاخص‌های آتروفی عضلانی تفاوت‌هایی وجود دارد. این تفاوت‌ها به نوع، شدت و مدت برنامه تمرینی و همچنین نوع آزمودنی‌های مورد استفاده در پژوهش‌ها بستگی دارد.

در مطالعات رفتاری نشان داده شده است که عوامل تغذیه عصبی تغییری در آستانه حرارتی (۵۰) یا در آلوداینیای مکانیکی (۵۰) ایجاد نمی‌کند. با این حال این رویکرد، رهایش ماده P را کاهش می‌دهد و تزریق یک واحد دوز بالای سیستمیک آن موجب ایجاد پردردی مکانیکی، ۲۴ ساعت پس از تزریق می‌شود (۵۱). افزایش عوامل تغذیه عصبی نیز تأثیری بر افزایش حساسیت گرمایی و لامسه‌ای در موش‌های صحرایی دچار SNL نداشته است (۵۲). در موش‌های صحرایی دچار قطع عصب نخاعی ۵٪ تزریق سیستمیک عوامل تغذیه عصبی (۵۳) و آنتی‌بادی ضد NT-3 (۵۴) در DRG (Dorsal Root Ganglion) تأثیر کمی بر آلوداینیا داشته است. همچنین گزارش شده است که مهار عوامل تغذیه عصبی به طور اساسی موجب کاهش مدت زمان مربوط به آلوداینیای مکانیکی ناشی از SNL می‌شود (۵۵). تغییرات آزمون‌های رفتاری در تحقیق حاضر در گروه‌هایی که تمرین ورزشی انجام دادند، در مقایسه با گروه شم نشان‌دهنده

افزایش آستانه درد در نتیجه تمرینات ورزشی است. بنابراین، انجام تمرینات ورزشی سبب بهبود درد نروپاتی می‌شود.

با توجه به نقش ژن‌های MST1 و MAFbx در ایجاد آتروفی عضلانی تأثیر لیگاسیون عصب نخاعی پس از یک دوره تمرین مقاومتی و ترکیبی بر بیان این ژن‌ها در عضله پلاتلتاریس موش‌های صحرایی نر ویستار بررسی شد. یافته‌های پژوهش حاضر نشان داد که لیگاسیون عصب نخاعی پس از تمرین مقاومتی و ترکیبی بر بیان ژن MST1 و MAFbx در عضله پلاتلتاریس تأثیر معناداری ندارد. از طرف دیگر، تغییرات آزمون‌های رفتاری معنادار بود. از این‌رو پیشنهاد می‌شود از تمرینات ترکیبی و مقاومتی به عنوان یک روش غیردارویی در بهبود درد نروپاتیک استفاده شود.

تقدیر و تشکر

پژوهش حاضر مستخرج از پایان‌نامه کارشناسی ارشد فیزیولوژی ورزشی است، بدین‌وسیله از تمامی کسانی که ما را در این پژوهش یاری کردند، تقدیر و تشکر می‌شود. پژوهش حاضر دارای کد اخلاقی IR.KMU.REC.1399.190 از دانشگاه علوم پزشکی کرمان است.

منابع و مأخذ

1. Hodges, P., et al., Rapid atrophy of the lumbar multifidus follows experimental disc or nerve root injury. *Spine*, 2006. 31(25): p. 2926-2933.
2. Burnett, M.G. and E.L. Zager, Pathophysiology of peripheral nerve injury: a brief review. *Neurosurgical focus*, 2004. 16(5): p. 1-7
3. Verhees, K.J., et al., Glycogen synthase kinase-3 β is required for the induction of skeletal muscle atrophy. *American Journal of Physiology-Cell Physiology*, 2011. 301(5): p. C995-C1007.
4. Fanzani, A., et al., Molecular and cellular mechanisms of skeletal muscle atrophy: an update. *Journal of cachexia, sarcopenia and muscle*, 2012. 3(3): p. 163-179.
5. Giger, J.M., et al., Rapid muscle atrophy response to unloading: pretranslational processes involving MHC and actin. *Journal of Applied Physiology*, 2009. 107(4): p. 1204-1212.
6. Rodriguez, J., et al., Myostatin and the skeletal muscle atrophy and hypertrophy signaling pathways. *Cellular and Molecular Life Sciences*, 2014. 71(22): p. 4361-4371.
7. Radak, Z., et al., Single bout of exercise eliminates the immobilization-induced oxidative stress in rat brain. *Neurochemistry international*, 2001. 39(1): p. 33-38.
8. Adams, G.R., V.J. Caiozzo, and K.M. Baldwin, Skeletal muscle unweighting: spaceflight and ground-based models. *Journal of applied physiology*, 2003. 95(6): p. 2185-2201.
9. Fitts, R.H., D.R. Riley, and J.J. Widrick, Physiology of a microgravity environment invited review: microgravity and skeletal muscle. *Journal of applied physiology*, 2000. 89(2): p. 823-839.
10. Bodine, S.C., et al., Akt/mTOR pathway is a crucial regulator of skeletal muscle hypertrophy and can prevent muscle atrophy in vivo. *Nature cell biology*, 2001.

- 3(11): p. 1014-1019.
11. Cohen, S., et al., During muscle atrophy, thick, but not thin, filament components are degraded by MuRF1-dependent ubiquitylation. *Journal of Cell Biology*, 2009. 185(6): p. 1083-1095.
 12. Clavel, S., et al., Atrophy-related ubiquitin ligases, atrogin-1 and MuRF1 are up-regulated in aged rat Tibialis Anterior muscle. *Mechanisms of ageing and development*, 2006. 127(10): p. 794-801.
 13. Gomes, M.D., et al., Atrogin-1, a muscle-specific F-box protein highly expressed during muscle atrophy. *Proceedings of the National Academy of Sciences*, 2001. 98(25): p. 14440-14445.
 14. Bodine, S.C., et al., Identification of ubiquitin ligases required for skeletal muscle atrophy. *Science*, 2001. 294(5547): p. 1704-1708.
 15. Graves, J.D., et al., Both phosphorylation and caspase-mediated cleavage contribute to regulation of the Ste20-like protein kinase Mst1 during CD95/Fas-induced apoptosis. *Journal of Biological Chemistry*, 2001. 276(18): p. 14909-14915.
 16. Wei, B., et al., MST1, a key player, in enhancing fast skeletal muscle atrophy. *BMC biology*, 2013. 11(1): p. 1-13.
 17. Sandri, M., et al., Foxo transcription factors induce the atrophy-related ubiquitin ligase atrogin-1 and cause skeletal muscle atrophy. *Cell*, 2004. 117(3): p. 399-412.
 18. Reed, S., et al., Inhibition of IkappaB kinase alpha (IKK α) or IKKbeta (IKK β) plus forkhead box O (Foxo) abolishes skeletal muscle atrophy. *Biochemical and biophysical research communications*, 2011. 405(3): p. 491-496.
 19. Treede R-D, Jensen TS, Campbell J, Cruccu G, Dostrovsky J, Griffin J, et al. Neuropathic pain redefinition and a grading system for clinical and research purposes. *Neurology*. 2008;70(18):1630-5.
 20. Zaza C, Baine N. Cancer pain and psychosocial factors: a critical review of the literature. *Journal of pain and symptom management*. 2002;24(5):526-42.
 21. Gong W, Johanek LM, Sluka KA. Spinal Cord Stimulation Reduces Mechanical Hyperalgesia and Restores Physical Activity Levels in Animals with Noninflammatory Muscle Pain in a Frequency-Dependent Manner. *Anesthesia and analgesia*. 2014.
 22. Evans WJ. Skeletal muscle loss: cachexia, sarcopenia, and inactivity. *The American journal of clinical nutrition*. 2010;91(4):1123S-7S.
 23. Daemen M, Kurvers H, Bullens P, Slaaf D, Freling G, Kitslaar P, et al. Motor denervation induces altered muscle fibre type densities and atrophy in a rat model of neuropathic pain. *Neuroscience letters*. 1998;247(2):204-8.
 24. Jakobsen J, Brimijoin S, Sidenius P. Axonal transport in neuropathy. *Muscle & nerve*. 1983;6(2):164-6.
 25. Wei B, Dui W, Liu D, Xing Y, Yuan Z, Ji G. MST1, a key player, in enhancing fast skeletal muscle atrophy. *BMC Biol* 2013;11:12. doi:10.1186/1741-7007-11-12
 26. Lee, S. and R.P. Farrar, Resistance training induces muscle-specific changes in muscle mass and function in rat. *Journal of Exercise physiology online*, 2003. 6(2).
 27. Chae, C.-H. and H.-T. Kim, Forced, moderate-intensity treadmill exercise suppresses apoptosis by increasing the level of NGF and stimulating phosphatidylinositol 3-kinase signaling in the hippocampus of induced aging rats. *Neurochemistry international*, 2009. 55(4): p. 208-213.
 28. Høydal MA, Wisløff U, Kemi OJ, Ellingsen Ø. Running speed and maximal oxygen uptake in rats and mice: practical implications for exercise training. *European Journal of Cardiovascular Prevention & Rehabilitation*. 2007;14(6):753-60
 29. Kim, S.H. and J.M. Chung, An experimental model for peripheral neuropathy produced by segmental spinal nerve ligation in the rat. *Pain*, 1992. 50(3): p. 355-363
 30. Hole, K. and A. Tjølsen, Tail Flick Test, in *Encyclopedia of Pain*. 2007, Springer. p. 2392-2395
 31. Pfaffl MWJNar. A new mathematical model for relative quantification in real-time RT-PCR. 2001;29(9):e45-e
 32. Kazemi, A. and T. Dahesh, The Effect of 4 Weeks of High Intensity Training on Gene

- Expression of MST1 and MAFbx in EDL Muscle of Aged Mice. 2019
33. KAZEMI, A., M. RAHMATI, and S. MONTAZER, THE EFFECT OF DECREASED ACTIVITY IN THE FORM OF SPINAL CORD LIGATION ON CDK5 EXPRESSION IN SCIATIC NERVE AND BEHAVIORAL TEST OF WISTAR MALE RATS WITH NEUROPATHIC PAIN. 2016.
34. KAZEMI, A., M. RAHMATI, and A. ZIASISTANI, EFFECTS OF 6 WEEKS DECREASED ACTIVITY IN THE FORM OF NEUROPATHIC PAIN ON SUNDAY DRIVER GENE EXPRESSION IN THE RAT SCIATIC NERVE FIBERS. 2016.
35. Kazemi, A., The effect of the mechanical unloading of lower limb on MST1 and Atrogin1 gene expression in Plantaris and soleus muscles of Wistar rats. *Journal of Knowledge & Health*, 2018. 13(3): p. 34-4136-
36. Moradi, Y., F. Zehsaz, and M.A. Nourazar, Concurrent exercise training and Murf-1 and Atrogin-1 gene expression in the vastus lateralis muscle of male Wistar rats. *Apunts Sports Medicine*, 2020. 55(205): p. 21-27
37. Tam, B., et al., Autophagic adaptation is associated with exercise-induced fibre-type shifting in skeletal muscle. *Acta physiologica*, 2015. 214(2): p. 221-236.
38. Gonçalves, N.G., et al., Fructose ingestion impairs expression of genes involved in skeletal muscle's adaptive response to aerobic exercise. *Genes & nutrition*, 2017. 12(1): p. 1-12.
39. Stefanetti, R.J., et al., Regulation of ubiquitin proteasome pathway molecular markers in response to endurance and resistance exercise and training. *Pflügers Archiv-European Journal of Physiology*, 2015. 467(7): p. 1523-1537.
40. Rezaeipour, S., et al., An Investigation of the Effect of Upper Limb Resistance Training after Lower Limb Immobilization on FoxO3a, MuRF1 and MAFbx Gene Expressions of Soleus Muscle in Trained Rats. 2020.
41. Panahi, S., et al., The effect of 4 weeks resistance training on murf1 gene expression and muscle atrophy in diabetic wistar rats. *Medical J Tabriz Uni Med Sci Health Serv*, 2016. 38(2): p. 6-13.
42. sheibani, s., et al., The effect of high-intensity training and detraining on FOXO3a/MuRF1 and MAFbx levels in soleus muscle of male rats. *EBNESINA*, 2018. 20(1): p. 31-39.
43. Moradi, Y., F. Zehsaz, and M.A. Nourazar, Concurrent exercise training and Murf-1 and Atrogin-1 gene expression in the vastus lateralis muscle of male Wistar rats. *Apunts Sports Medicine*, 2020. 55(205): p. 21-27.
44. Sacheck, J.M., et al., IGF-I stimulates muscle growth by suppressing protein breakdown and expression of atrophy-related ubiquitin ligases, atrogin-1 and MuRF1. *American Journal of Physiology-Endocrinology and Metabolism*, 2004. 287(4): p. E591-E601
45. Xu, M., et al., FoxO1: a novel insight into its molecular mechanisms in the regulation of skeletal muscle differentiation and fiber type specification. *Oncotarget*, 2017. 8(6): p. 10662.
46. Adams, V., et al., Modulation of Murf-1 and MAFbx expression in the myocardium by physical exercise training. *European Journal of Cardiovascular Prevention & Rehabilitation*, 2008. 15(3): p. 293-299.
47. Al-Nassan, S., et al., Chronic exercise training down-regulates TNF- α and atrogin-1/MAFbx in mouse gastrocnemius muscle atrophy induced by hindlimb unloading. *Acta Histochemica et Cytochemica*, 2012. 45(6): p. 343-349.
48. Zhao, H.-X., et al., Exercise training suppresses Mst1 activation and attenuates myocardial dysfunction in mice with type 1 diabetes. *Canadian Journal of Physiology and Pharmacology*, 2020(ja)
49. Borgenvik, M., W. Apró, and E. Blomstrand, Intake of branched-chain amino acids influences the levels of MAFbx mRNA and MuRF-1 total protein in resting and exercising human muscle. *American Journal of Physiology-Endocrinology and Metabolism*, 2012. 302(5): p. E510-E521.
50. Malcangio M, Ramer MS, Boucher TJ, McMahon SB. Intrathecally injected

- neurotrophins and the release of substance P from the rat isolated spinal cord. *Eur J Neurosci* 2000; 12(1): 139-44.
51. Malcangio M, Garrett NE, Cruwys S, Tomlinson DR. Nerve growth factor-and neurotrophin-3-induced changes in nociceptive threshold and the release of substance P from the rat isolated spinal cord. *J Neurosci* 1997; 17(21): 8459-67.
 52. Boucher TJ, Okuse K, Bennett DL, Munson JB, Wood JN, McMahon SB. Potent analgesic effects of GDNF in neuropathic pain states. *Science* 2000; 290(5489): 124-7.
 53. Deng Y-S, Zhong J-H, Zhou X-F. Effects of endogenous neurotrophins on sympathetic sprouting in the dorsal root ganglia and allodynia following spinal nerve injury. *Exp Neurol* 2000; 164(2): 344-50.
 54. Zhou XF, Deng YS, Xian C, Zhong JH. Neurotrophins from dorsal root ganglia trigger allodynia after spinal nerve injury in rats. *Eur J Neurosci* 2000; 12(1): 100-5.
 55. White DM. Neurotrophin-3 antisense oligonucleotide attenuates nerve injury-induced A β -fibre sprouting. *Brain Res* 2000; 885(1): 79-86.

The effect of two training model on the MST1 and MAFbx genes expression in Plantaris muscle and behavioral tests in male Wistar rats before decreased activity by SNL

Abdolreza Kazemi *¹ - Asma Moghadam ²

1. Associate Prof, Department of Physical Education, Faculty of Letters and Humanities, Vali E Asr University, Rafsanjan, Iran 2. MSc, Department of Exercise Physiology, Kerman Branch, Islamic Azad University, Kerman, Iran, Physiology Research Center, Institute of Neuropharmacology, Kerman University of Medical Sciences, Kerman, Iran

(Received: ; Accepted:)

Abstract

Neuromuscular dysfunction with reduced physical activity has significant consequences for muscle function. Therefore, the aim of the present study was to evaluate the effect of resistance and combined training on the MST1 and MAFbx genes expression in Plantaris muscle and behavioral tests in male Wistar rats before decreased physical activity by SNL. 24 8-week-old male rats with the mean weight of 250 ± 20 g were randomly assigned into 3 groups: 1) Sham-Spinal Nerve Ligation (Sham-SNL), 2) Resistance Training-Spinal Nerve Ligation (SNL-S), 3) Combined training-Spinal Nerve Ligation (SNL-CO). In 3 groups, three branches of the sciatic nerve of rats were tightly tied after the end of training protocol. The duration of the SNL protocol was 4 weeks. At the end of the protocol, Plantaris muscle was extracted. Real-Time PCR was used to measure the mRNA expression of the genes. MST1 and MAFbx gene expression in the Sham-SNL group was non-significantly higher than the training groups ($P < 0.05$). On the other hand, the results of one-way ANOVA test and Tukey test showed that there is a significant difference in hyperalgesia and mechanical allodynia test between Sham-SNL group and training groups ($P < 0.05$). Based on the significant changes in behavioral tests in the training groups group compared to the Sham-SNL, it can be claimed that resistance and combination training can be useful for improving neuropathic pain.

Key words

Behavioral tests, Combined and resistance training, SNL, MST1, MAFbx.

* Corresponding Author : Email :a.Kazemi@vru.ac.ir; Tel: 03431312335

